

眼振의 测定과 分析

朴相暉*, 金成煥**

*延世大学校 電氣工学科 教授(工博)

**서울市立大学 電子工学科 助教授(工博)

I. 序 言

身体의 回轉運動時 눈은 지금까지 瞳視하고 있던 方向을 계속 유지할 수 있도록 回轉方向과 反對方向으로 움직인다. 만일 이러한 眼球의 对相作用이 일어날 수 있는 限界를 넘도록 身體의 回轉運動이 일어나면, 눈은 신속히 回轉方向과 같은 방향으로 움직여 새로운 瞳視點을 구축한 다음, 다시 서서히 反對 direction으로 对相作用이 일어나는데, 이와 같은 眼球運動의 連續을 眼振(nystagmus)이라고 한다.

眼振은 上述한 바와 같이 빠르고 느린 2개의 眼球運動 (rapid and slow phase eye movement)이 反復되는 것이며, 眼振의 方向은 慣習의로 빠른상 運動이 일어나는 方向으로 定한다.

眼振의 研究는 Crum Brown(1874)^[1] 以降 生理学의 인 研究方法과^{[2] [3]} 工学의 인 研究方法으로^{[4] [5]} 수 많은 研究가 진행되어 왔다. 이와 같이 모든 動物에 共通적으로 나타나는 眼振은 生理学의이고 臨床学의인 研究에 매우 重要한 部分을 차지하고 있으며, 특히 臨床에서 眩晕症 患者的 前庭機能 檢査에 有效하게 사용된다. 그러나 效率의인 實驗方法 및 メイ터 分析方法의 不在로 質의이고 量의인 解析이 不可能하였다. 이를 解決하기 위하여 첫째 回轉刺戟을 정확하고 다양하게 인가하기 위한 회전의자의 制御方式 改善이 뒤따라야 하며, 둘째로 メイ터 分析方法의 어려움이 解决되어야 한다. 이러한 問題點들이 근래 디지털 컴퓨터의 發達로 많은 진전을 보이고 있다.

여기서는 眼振이란 무엇이며, 眼振波形의 構成要素 测定方法, 波形의 分析方法, 前庭反射系의 모델링 등을 説明하고자 한다.

II. 眼振의 發生 및 種類

眼振이 일어날 때의 유효한 刺戟은 回轉速度 자체보다도 半規管(semicircular canal)내의 内淋巴(endolymph)에 대한 角加速度(angular acceleration)이다. 따라서 일정한 속도로 회전운동을 하면, 이때 角加速度는 零이므로 眼振의 發生 現象은 없어진다. 그러나 갑자기 회전운동을 停止하면 慣性에 의해 内淋巴의 流動方向이 바뀜으로 眼振은 前과 反對方向으로 잠시동안 계속되는데, 이를 前庭眼振(vestibular nystagmus)이라 한다.

이와 같은 신체의 回轉에 의한 眼振의 發生 이외에 内耳迷路(labyrinth)의 热的刺戟(caloric stimulus)에 의해 眼振이 發生하는데 이를 caloric nystagmus라 하며 前庭眼振으로 分類한다.

기차를 타고 있는 사람이 창문을 通하여 창밖의 視標을 볼 때 眼振이 發生되는데, 이와 같이 視覺刺戟에 의한 眼振을 視覺性 眼振(optokinetic nystagmus)이라 한다.

그밖에 刺戟 方法에 따라 spontaneous 眼振, alcoholic 眼振 등도 있다.

위와 같이 나열된 여러 가지의 眼振중에서 지금 현재는 前庭眼振이 가장 활발히 研究되고 있다.

前庭眼振은 生理学의로 半規管의 刺戟에 의해 運動이 發生하며, 機能은 網膜 위의 映像을 安定시키기 위하여 反射的으로 眼球를 反對方向으로 回轉시켜 머리 運動을 对相시켜 주는 發振運動이다. 眼球의 위치를 안정시키기 위해 들어 오는 前庭速度 信号은 外眼筋(extra-ocular muscle)에 의해 眼球의 위치로 변환되며 이전에 神經系에 의해 재차 集積되어야 한다.

머리의 양쪽에는 3개의 半規管이 거의 서로 垂直軸을 이루고 있다. 3개의 管들은 3쌍의 拮抗筋(antagonist)에 의해 각각의 角速度를 分解하여 정확한 半回転 信号을 3축에 보내준다. 만일 동일한 方向으로 10°~15°의 회전이 계속 될 때에는 saccade가 眼球를 急速히

反対方向으로 안정시켜 새로운 視軸을 찾도록 해 준다. 이때 회전이 지속되면 그림 1과 같은 톱날파(saw-tooth wave) 眼球運動을 하게 된다.

느린상 운동의 速度보다 적어도 3배 이상 클 때 眼振 사이클(nystagmus cycle)이라 定義한다.

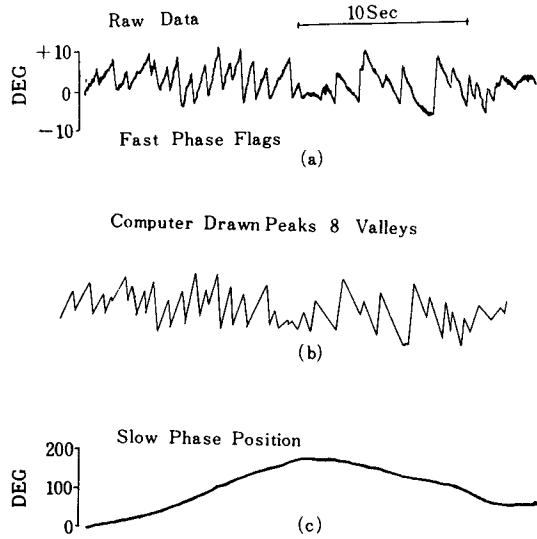


그림 1. 전형적인 眼振의 波形

활동성 추적운동(smooth-pursuit movement)은 머리 운동에 의한 網膜의 映像運動이 30deg/sec이하인 경우를 대상으로 하지만 300deg/sec가 넘는 머리 운동은 前庭系統에 의해 대처된다.

III. 眼振波形의 構成 要素

前庭器官 刺戟에 의한 眼球運動의 形態는 그림 2와 같이 대별될 수 있다.

眼振分析을 위한 基本波形의 構成要素는 (1) 우측으로의 느린상 운동 후 좌측으로의 빠른상 운동, (2) 우측으로의 빠른상 운동 후 좌측으로의 느린상 운동, (3) 좌측으로의 느린상 운동 후 우측으로의 빠른상 운동, (4) 좌측으로의 빠른상 운동 후 우측으로의 느린상 운동 (5) 양측으로의 빠른상 운동, (6) 양측으로의 느린상 운동으로 되어 있다. 眼振은 그림 2의 (1), (2), (3), (4)와 같이 서로 다른 速度를 갖는 것이 特徵이다. 그러나 (5), (6)의 波形은 두 가지 成分의 速度가 같은 形態로써 中枢神經系에 异常이 있음을 나타내는 尺度가 된다.

一般的으로 前庭眼振에서는 빠른상 운동의 速度가

IV. 眼振의 檢出 및 刺戟 發生 裝置

1. 眼振의 檢出

眼振의 檢出方法은 電氣生理學的인 方法인 E. O. G. (electro-oculo-graphy) 測定法과 光電測定法 등이 있으나, 測定의 容易性에 의하여 근래에는 E. O. G. 測定法이 많이 사용되고 있다.

1877년 Dewar는 角膜(cornea)과 網膜(retina) 사이에는 약간의 電位差가 存在한다는 것을 發見하였다.

이러한 電位差는 角膜과 網膜의 서로 다른 新陳代謝比率(metabolic rate)에 의해서 발생하며 오늘 날 이를 corneo-retinal potential이라고 알려져 있다.

人間의 眼球는 일종의 電氣 쌍극자(electric dipole)로써 網膜은 角膜에 대하여 陰極으로 帶電되어 있다.

眼球 주위의 組織은 피부에 부착되어 있는 電極(electrode)에 대하여 導體(conductor) 역할을 하며 眼球回轉時 임피던스가 변화하므로 해서 電極 사이의 電位变化를 가져온다. 이러한 電位의 变化가 眼球運動의 回轉角을 나타내게 된다. 일반적으로 E. O. G.의 分解能은 1 deg 정도이다. 電極은 보통 Ag-AgCl 피부전극을 사용하여 부착방법 및 위치는 多數의 論文에 [1] [2] [3] 說明되어 있다.

2. 刺戟 發生 裝置

'實際的으로 眼振의 測定時 가장 문제가 되는 것은 前庭眼振을 發생시키기 위한 刺戟의 方法으로써 회전의자(rotation chair)에 의한 方법과 热的刺戟에 의한 方法 등이 있다. 여러 가지 形態의 회전의자 움직임이 前庭器官의 刺戟源으로써 사용되어 수직축에 대한 회전은 수평 半規管을 刺戟하므로써 水平對相眼振이 發生한다. 이러한 形態의 回轉은 정현파 혹은 일정 加速度로 구동시킨 후, 일정한 減速이나 급격한 충격적인停止로써 構成된다. 또한 工學的으로는 다양한 형태의 랜덤자극이 前庭系의 동특성 추정(system identification)을 위하여 임상적으로 사용되고 있다. 환자의 靜的(static), 動的(dynamic) 위치가 前庭器官 実驗에 주요한 要素가 회전의 測定 시스템의 회전의자의 設計는 매우 중요한 위치를 차지하고 있다. 회전의자는 加速과 減速이 다양한 범위(1~200deg/sec²)에서 조정

眼振의 测定과 分析

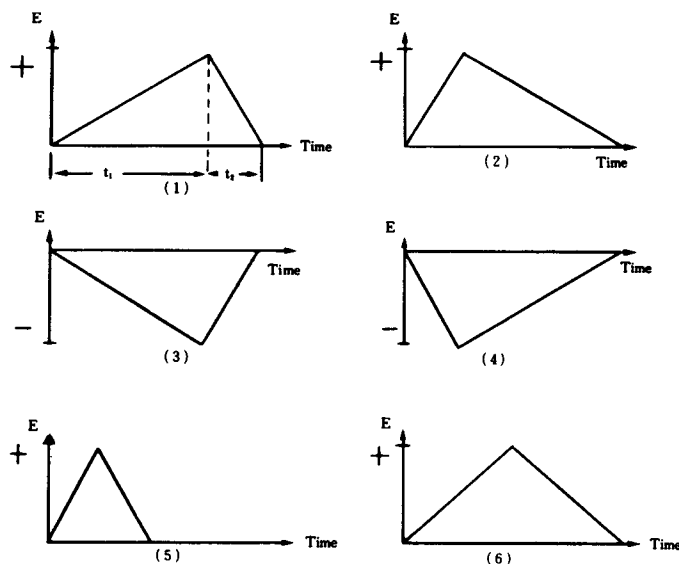


그림 2. 眼振波形의 구성 요소

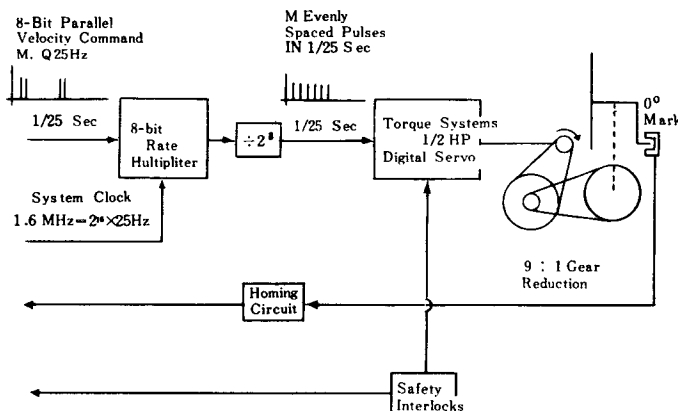


그림 3. 회전의자 제어시스템

되어야 한다.

参考的으로 1981年 MIT⁽¹⁰⁾에서 개발된 마이크로컴퓨터에 의해서 제어되는 MAXI II 회전의자 제어시스템의 블럭선도를 그림 3에서 볼 수 있다.

다음으로 열 적자극에 의한 前庭眼振을 测定하려면 일정한 온도로 内耳迷路(labyrinth)를 刺激하여야 한다.

이를 위하여 흔히 일정온도의 증류수를 순환시키는 装置를 사용한다.

표 1은 열적자극에 의한 前庭眼振의 実驗節次를 보이고 있는 것이다.

표 1. Caloric nystagmus의 측정 절차

-
- Test 0-Calibrate right eye horizontal, left eye covered.
 - Test 1-Calibrate left eye horizontal, right eye covered.
 - Test 2-Calibrate right eye vertical, left eye covered.
 - Test 3-Calibrate left eye vertical, right eye covered.
 - Test 4-44°C caloric, right labyrinth stimulated.
 - Test 5-44°C caloric, left labyrinth stimulated.
 - Test 6-30°C caloric, right labyrinth stimulated.
 - Test 7-30°C caloric, left labyrinth stimulated.
 - Test 8-4°C caloric, right labyrinth stimulated.
 - Test 9-4°C caloric, left labyrinth stimulated.
-

V. 眼振의 기록시스템 및 데이터分析

1. 기록시스템

眼振이 發生時 電極에서 발생되는 전위는 약 $20\mu V$ (peak-peak)로써 기록기 및 A/D변환기 입력을 위하여 1V(peak) 범위로 信号를 增幅해야 한다. 근육과 장비의 잡음은 증폭기의 대역폭에 크게 좌우되므로 직류증폭기 및 필터의 선정이 중요시되고 있다.

일반적으로 이득은 5×10 정도 요구되어 저주파 필터의 절점 주파수는 20~30Hz인 것을 사용하여야 한다.

그림 4는 眼振度(electro nystagmus gram) 기록시스템을 나타내고 있다.

2. 데이터 分析

자기 테이프에 기록된 각 채널의 眼振 데이터의 分析 節次는 実驗의 種類와 필요한 데이터의 推定 方法에 따라 다르고 컴퓨터 프로그램도 각 경우에 따라 달라지지만 일반적으로 다음과 같은 諸量의 解析이 필요로 된다.

(1) 眼振의 持続期間, (2) 빠른상 운동과 느린상 운동의 持続期間 및 振幅, (3) 眼振의 速度, (4) 眼振의 비

트(beat), (5) 平均值 (6) 標準偏差, (7) 分散과 共分散, (8) 平均周波数, (9) 相関計數, (10) 回歸分析 (regression analysis)

그 밖에 実驗 目的에 따라 ISI分析^[11] (inter-saccadic-interval analysis) 및 前庭系의 동특성 추정을 위한 랜덤 입력 信号에 대한 응답의 스펙트럼 해석 등이 수행되어지고 있다.

VI. 前庭反射系(Vestibulo-Ocular Reflex)의 모델링

지금까지 앞 節에서 언급된 眼振의 測定데이터로 부터 실제적인 前庭系의 動作 기구를 가장 잘 표현하는 모델에 대한 연구는 과거로부터 현재까지 계속 수행되고 있으며 앞으로도 연구되어야 할 과제이다. 前庭系統의 刺激에 의한 前庭眼振은 半規管으로부터 시작하여 眼球, 眼球組織, 眼筋肉 등으로 구성된 眼球 플랜트에서 끝나게 된다.

이러한 制御 기구는 神經生理학의 근거를 가장 잘 반영하는 동시에 공학적인 実驗結果를 만족시키는 차원에서 모델링되어야 한다. 일반적으로 모델링은 느린상 운동과 빠른상 운동으로 나뉘어져서 수행되고 있다.

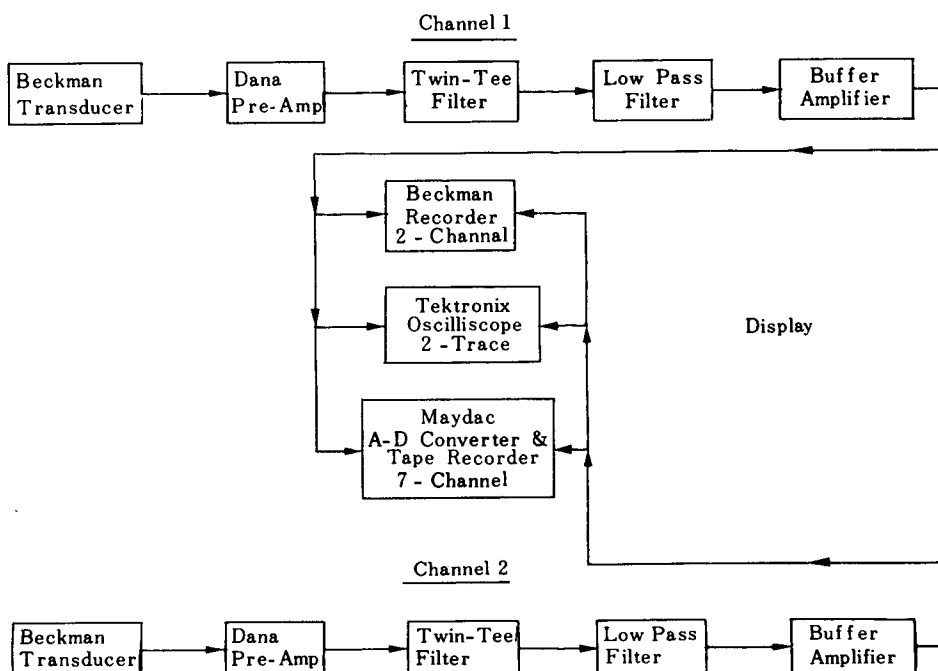


그림 4. ENG 기록 시스템

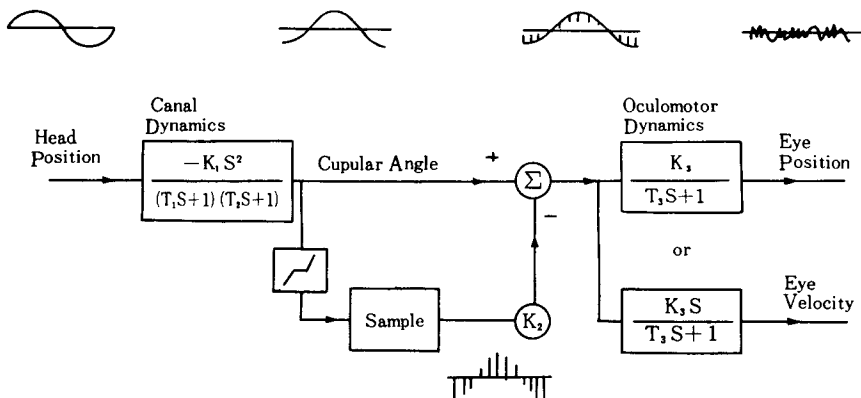


그림 5. 전정 반사계의 모델

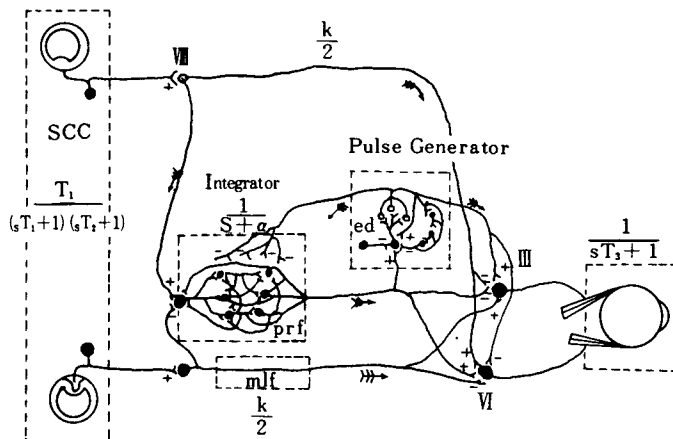


그림 6. VOR 시스템의 神經組織網

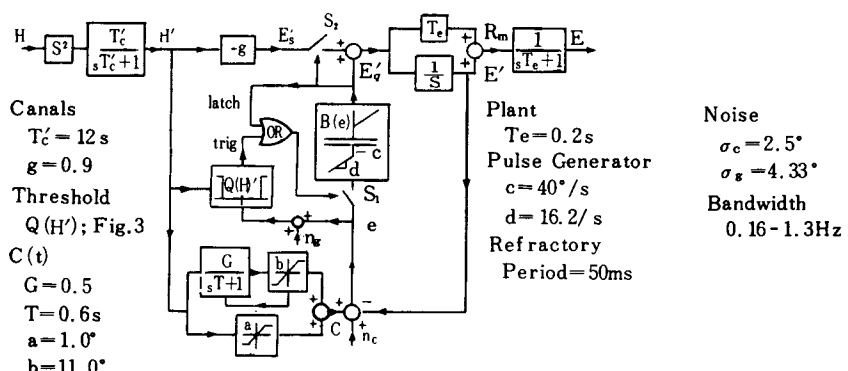


그림 7. VOR 시스템의 모델

빠른상 운동과 느린상 운동은 서로 反對方向으로 생기며 頻度와 振幅은 半規管의 出力이 클수록 높고 커진다. 빠른상 운동이 전혀 없을 때 느린상 운동의 응답은 빠른상 운동이 있을 때의 느린상 운동에 비해서 위상이 앞서 있는 것이 특징이다.

그 밖의 過渡特性과 周波数 特性을 檢討하여 Sugie 와 M. Jones^[12] (1971)는 그림 5와 같은 모델을 발표하였다.

그 후 K. S. Chun과 Robinson^[13] (1978)은 빠른상 운동은 腦橋에서의 國소귀환루우프(local feedback loop)에 의해서 발생된다는 提案과 함께 前庭反射系(그림 6)의 모델을 그림 7과 같이 提示하였다.

VII. 結論

지금까지 眼振이란 무엇이며 発生原因과 測定法 및 デイタ 分析, 前庭反射系의 모델링 등 基本的인 사항에 대하여 考察하였다.

앞으로의 課題는 眼振 측정장비의 精密性을 향상시키고 小形化가 요구되며 병원에서 임상적으로 대단위의 前庭実驗을 수행할 수 있게끔 眼振分析의 알고리즘(algorithm)의 개발이 요구된다.

또한 工学者와 生理学者는 의사들의 실험 데이터를 토대로 가장 정확한 모델을 만들어서 人間工學과 관련된 視覺系統 設計 및 로보트의 눈 등을 고려하는데 도움이 될 수 있는 기초가 되어야 할 것이다.

参考文献

- [1] Crum Brown, A. : On the sense of rotation and the anatomy and physiology of the semi-circular canals of the inner ear, *J. Anat. Physiol* (London) 8, PP. 327- 331, 1874.
- [2] Honrubia, V. and Baloh, R. W. : The patterns of eye movements during physiological vestibular nystagmus in man, *Trans. Am. Acad. Ophthalmol. Otolaryng.* 82, PP. 339-347, 1976.
- [3] Nagle, D. W. : An unusual vestibular nystagmus elicited from normal subjects, *Ann. Otol., Rhinol., and Laryngol.*, 76 : 477, June 1967.
- [4] Landers, P. H., and Taylor, A. : Transfer Function Analysis of the Vestibulo-Ocular Reflex in the Conscious Cat. In : *Basic Mechanisms of Ocular Motility and their Clinical Implications*, pp. 506. Lennerstrand, G, Bach-Y-Rita, P. (eds.). New York; Pergamon Press, PP. 506, 1975.
- [5] Marg, E. : development of electro-oculography-standing potential of the eye in registration of eye movement, *A. M. A. Arch. Ophth.* 45, 169, 1951.
- [6] Shackel, B. : Pilot study in electro-oculography, *Britsh. J. Ophthal.* 44 : 89, 1960.
- [7] Kim, S. H. : Control Characteristics Analysis of the Oculomotor System using Bandlimited Random Signals, Ph. D. Thesis, Dept. Electrical Engr., Yon Sei Univ., 1980.
- [8] Briggs, P. A. N., et al: Correlation analysis of process dynamics using pseudo-random binary test perturbations, *Proc. Inst. Mech. Eng.* 179, PP. 37 - 51, 1965.
- [9] Wall, C, O'Leary, D. P and Black, F.O. : System analysis of vestibulo-ocular system response using white noise inputs, *Proc. Sixth Ann. Meeting of the Society for Neuroscience*, 1052, Toronto, 1976.
- [10] Tole, J. R. et al : A microprocessor-controlled vestibular examination chair, *IEEE Trans. BME*, vol. 28, No. 5, pp. 390-396, 1981.
- [11] Cheng, M., & Outerbridge, J. S. : Inter-Saccadic interval analysis of vestibular nystagmus, *Acta Otolaryng.* 77 : 348-353, 1974.
- [12] Sugie, N and Jones, G. M. : A model of eye movements induced by head rotation., *IEEE Trans. on SMC*, 1, 251, July 1971.
- [13] Chun, K. S., Robinson, D. A. : A model of quick phase generation in the vestibulo ocular reflex, *Biol. Cybernetics*, 28, 209-221, 1978.

♣ 用語解説 ♣

Modem: A contraction of the words "modulator-demodulator." A modem is a device for performing necessary signal transformation between terminal devices and communication lines. They are normally used in pairs, one at either end of the communication line.